

بررسی ژئوشیمی و کانی‌شناسی سنگ‌های آدکایتی روستای منور، شمال تبریز (شمال غرب ایران)

مهديه فاضلی حق^۱، نصیر عامل^{۲*} و احمد جهانگيري^۳

۱. کارشناسی ارشد پترولوزی دانشگاه تبریز
۲. استادیار گروه علوم زمین، دانشکده علوم طبیعی، دانشگاه تبریز
۳. استاد گروه علوم زمین، دانشکده علوم طبیعی، دانشگاه تبریز

تاریخ دریافت: ۹۴/۱۲/۱۵

تاریخ پذیرش: ۹۵/۰۳/۱۱

چکیده

منطقه مورد مطالعه در ۳۵ کیلومتری شمال غرب تبریز واقع شده است. بر اساس شواهد چینه‌ای سنگ‌های آتشفسانی منطقه منور، سنی از میو-پلیوسن تا پلیو-کواترنری داشته و از نظر زمین‌شناسی ساختاری بخشی از زون البرز باختری - آذربایجان به شمار می‌رند. سنگ‌های آتشفسانی بیشتر از نوع داسیت، ریوداسیت، آندزیت، آندزیت بازالت و تراکی آندزیت می‌باشند. در نمودارهای عنکبوتی، این سنگ‌ها غنی‌شدگی از عنصر LREE و LILE نسبت به HFSE و HRREE، تهی شدگی و آنمالمی منفی Ba/Ta و Ba/Nb و نسبت‌های بالای Ta، Nb و آنمالمی منفی Ti، و آنمالمی منفی Ba/Ta (TNT) را نمایان می‌سازند که نشانگر شکل‌گیری آنها در قوس‌های قاره‌ای و قوس‌های بعد از تصادم هستند. مقادیر بالای SiO₂ برابر با ۵۵ تا ۶۶ درصد وزنی و پایین بودن مقادیر Y، MgO و Yb و نسبت‌های بالای La/Y و Sr/Y و La/Yb بیانگر شکل‌گیری آنها از یک مagma آدکایتی پرسیلیس در منطقه است. با وجود این شواهد و بررسی الگوهای پراکندگی عناصر نادر خاکی نشان‌دهنده تشکیل magma از ذوب بخشی پوسته ضخیم شده پس از برخورد است.

واژه‌های کلیدی: سنگ‌های آدکایتی، پوسته ضخیم شده بعد تصادم، منور، تبریز.

مقدمه

اصطلاح آدکایت عموماً در ارتباط با magma‌های حاصل از ذوب صفحه اقیانوسی فرورفته توصیف شده است. آدکایت‌ها می‌توانند بر اثر تفرقی magma بازالتی، ذوب پریدوتی آبدار، اختلاط magma بازالتی و magma فلزیک مشتق شده از پوسته، ذوب بخشی پوسته قاره‌ای پایینی در اثر نفوذ magma بازالتی و ذوب بخشی پوسته قاره‌ای پایینی ضخیم شده یا ورقه ورقه شده تولید شوند (Guo et al., 2007؛ Xu et al., 2007). آدکایت‌ها ترکیب اسیدی تا حدودهای محدود با مقادیر بالای Sr/Y، La/Yb و پایین بودن مقادیر

Wang et al., 2006). HSFE و مشخص می‌شوند (Wang et al., 2006). مagma آدکایتی در زون ارومیه-دختر در شمال غرب ایران از مناطق تبریز، مرند و جلفا گزارش شده است (Jahangiri, 2007). در منطقه وسیعی از آذربایجان بهویژه در بخش شمالی گسل تبریز و شمال غرب مرند، سنگ‌های آتشفسانی با ترکیب حدودهای اسیدی در گستره وسیعی قابل مشاهده هستند و ماهیت آدکایتی دارند (عامل، ۱۳۷۳). گزارشات اخیر (Jahangiri, 2007) در مورد آدکایت‌های شمال غرب ایران نشان می‌دهد که آنها محدود به مناطق فرورانشی فعال نیستند و در محیط‌های تصادمی

* نویسنده مرتبط: n.amel@tabrizu.ac.ir

بین طول‌های جغرافیایی "٤٦°/٤١°/٣° تا ٤٨°/٥٠° شرقی و عرض‌های جغرافیایی "٣٨°/٢٢°/٣٤° تا ٣٨°/٩١°/٤٥° شمالی واقع شده است. این منطقه از نظر زمین‌شناسی ساختاری، بخشی از زون البرز باختری - آذربایجان به شمار می‌رود. واحدهای سنگی موجود در این نوار آتشفسانی به موازات گسل تبریز و با روند شمال‌غرب - جنوب‌شرق قرار گرفته‌اند. قدیمی‌ترین سنگ‌های منطقه مورد مطالعه سازند قرمز فوکانی است. ضخامت این واحد با سن الیگو میوسن در بعضی مناطق آذربایجان به ۱۲۰۰ متر می‌رسد و بیشتر شامل ماسه‌سنگ، کنگلومرا، مارن، شیل‌های قرمز رنگ همراه با لایه‌های گچ و نمک هستند. با توجه به موقعیت نواری شکل محصولات آتشفسانی که شامل تناوبی از سنگ‌های پیروکلاستیک و گدازه‌های آتشفسانی هستند، فوران‌های آتشفسانی در این منطقه به صورت شکافی و همراه با دوره‌های انفجار و آرامش متعدد عمل کرده است (عامل، ۱۳۸۶).

براساس شواهد چینه‌شناسی، دو مرحله مشخص و متفاوت آتشفسانی در نظر گرفته می‌شود. مرحله اول، آتشفسان دارای فعالیت انفجاری و همراه با پیروکلاست‌ها مثل خاکسترها آتشفسانی، بمبهای روانه‌های گدازه بوده و واحدهای سنگی داسیتی، ریوداسیتی و ریولیتی را به وجود آورده است که بر روی رسوبات قرمز فوکانی قرار گرفته‌اند. در ادامه فعالیت آتشفسان، گدازه‌های آندزیتی، تراکی آندزیت‌ها و بازالت‌ها ایجاد شده‌اند (شکل ۱). با توجه به شواهد چینه‌شناسی و سن سنجی‌های به دست آمده از واحدهای مشابه ولکانیکی شرق ترکیه، آغاز فعالیت آتشفسان در اواخر میوسن و اوایل پلیوسن با سنی حدود ۱۱ تا شش میلیون سال تعیین شده است (عامل و همکاران، ۱۳۸۷). در شکل ۲، بخشی از نقشه زمین‌شناسی ۱:۱۰۰۰۰۰ تبریز و منطقه منور شان داده شده است.

جوان و پساتصادمی نیز یافت می‌شوند.

بنابریه عقیده Jahangiri (2007)، آدکایت‌های سیلیس بالا، نشان‌دهنده ذوب سنگ‌های مافیک صفحه فرورونده هستند، در حالی که آدکایت‌های کم سیلیس در اثر ذوب تیغه گوشته پریدوتیتی که ترکیب آن در اثر واکنش با آبگون حاصل از ذوب صفحه فرورونده تغییر یافته، حاصل شده است. با در نظر گرفتن ویژگی‌های آدکایتی منطقه می‌توان گفت که این آدکایت‌ها همانند آدکایت‌های پرسیلیس از ذوب بخشی پوسته ضخیم شده تحتانی که احتمالاً تحت تأثیر ماقمای بازالتی منتج از گوشته نیز بوده است، به وجود آمده‌اند. در این پژوهش، سعی شده تا با استفاده از بررسی‌های صحرابی، مطالعات میکروسکوپی، آنالیز سنگ‌ها همراه با داده‌های زئوژیمیابی به بررسی کانی‌شناسی و سنگ‌زائی پرداخته شود تا نتایج مطمئن‌تری حاصل شده و خاستگاه دقیق این سنگ‌ها مورد بررسی و تحلیل قرار گیرد.

روش مطالعه

در مراحل اولیه، مطالعات صحرابی و نمونه‌برداری‌های سیستماتیک انجام گرفته و پس از تهیه مقاطع نازک به تعداد ۲۰ نمونه از رخمنون‌های سطحی و بررسی‌های سنگ‌نگاری دقیق آن‌ها، به‌منظور بررسی خاستگاه و تعیین جایگاه زمین ساختی سنگ‌های آتشفسانی تعداد ۱۲ نمونه از نمونه‌های برداشت شده که سالم و دگرسان نشده بودند، جهت آنالیزهای XRF و MS - ICP به آزمایشگاه کانساران بینالود در تهران ارسال شدند. عناصر اصلی به روش XRF و عناصر نادر و REE در نمونه‌ها، به روش ICP و با استفاده از ذوب لیتیم بورات¹ اندازه‌گیری شده‌اند (جدول ۱).

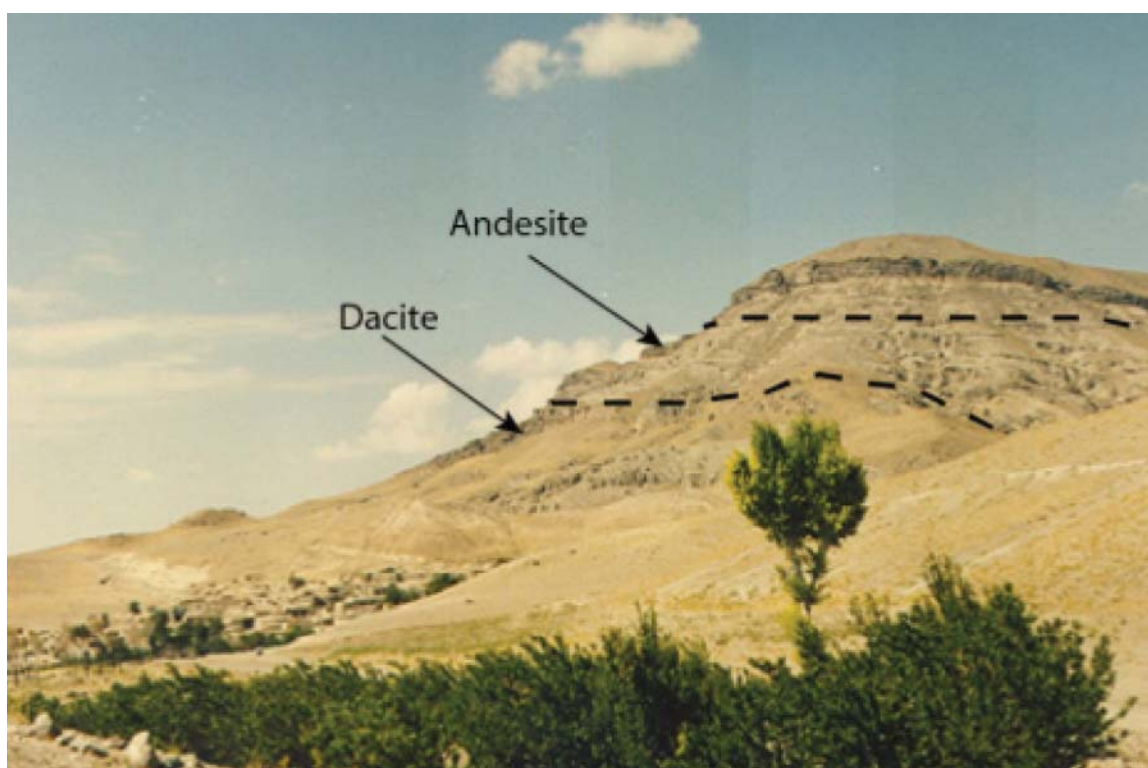
زمین‌شناسی منطقه

منطقه مورد مطالعه در شمال روستای منور در ۳۵ کیلومتری شمال‌غرب تبریز، در استان آذربایجان شرقی و

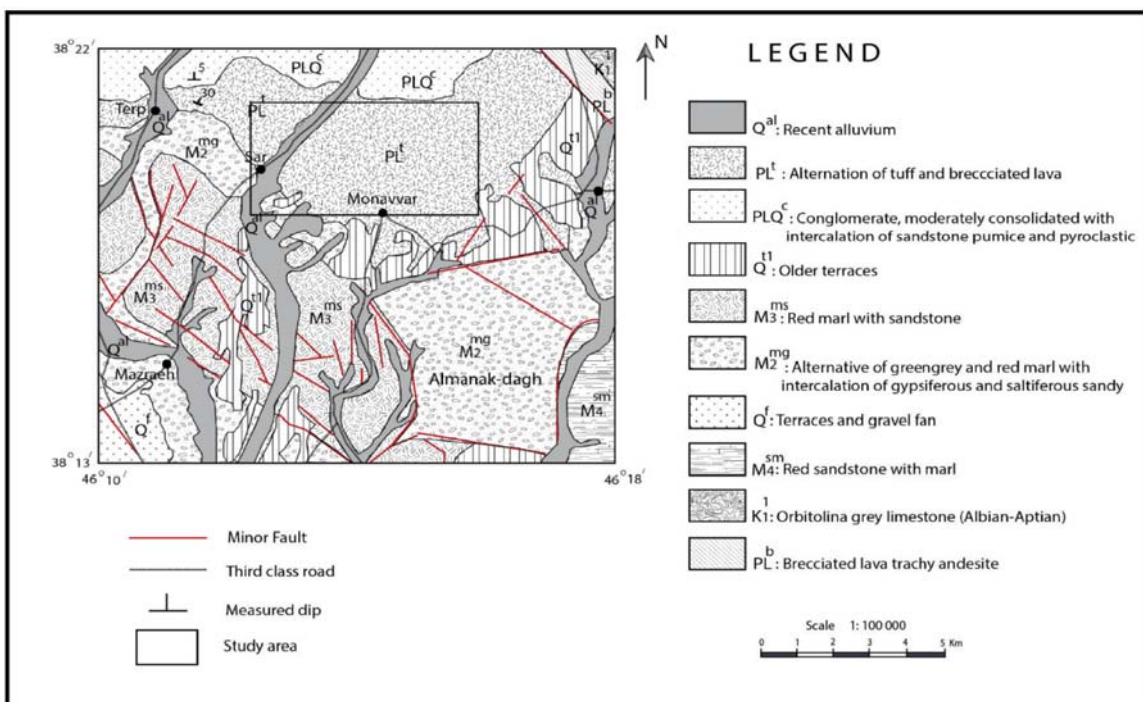
1. Lithium Borate-fusion

جدول ۱: نتایج آنالیز ژئوشیمیایی سنگ‌های آتشفشاری منطقه منور (عناصر اصلی بر حسب درصد و عناصر فرعی بر حسب PPM)

	MB20	MB14	MB4	MB15	MB3	MB19	MB16	MB18	MB13
	Dacite	Dacite	Dacite	Dacite	Andesite	Andesite	Andesite	Andesite	Andesite
SiO ₂	66/65	65/44	63/91	63/56	63/81	62/18	62/02	58	55/92
Al ₂ O ₃	16/05	14/03	16/25	16/18	16/42	16/45	16/37	17/14	17/29
Fe ₂ O ₃	2/13	2/19	2/17	4/02	2/11	5/34	4/42	6/7	7/29
CaO	2/66	4/39	4/74	5/34	5/03	4/75	5/04	6/97	6/9
Na ₂ O	5/22	5/26	4/29	4/22	4/85	4/06	5/03	4/02	2/31
K ₂ O	1/79	1/79	2/03	1/75	1/39	2/06	1/8	1/61	1/95
MgO	1/79	2/23	2/21	0/78	2/81	1/28	2/73	2/08	2/05
TiO ₂	0/52	0/71	0/51	0/64	0/581	0/67	0/68	0/185	0/185
MnO	0/04	0/05	0/03	0/06	0/049	0/06	0/07	0/17	0/14
P ₂ O ₅	0/19	0/35	0/295	0/25	0/211	0/26	0/23	0/28	0/24
LOI	0/64	1/45	1/11	0/87	1/84	1/1	1/4	0/96	1/67
Total	99/79	99/79	99/73	98/29	99/81	99/21	99/89	99/78	98/61
Ba	635	669	687	1085	827	1235	711	855	918
Ce	39/4	70/2	41	42	45	57/6	49/5	46/4	50/1
Co	8/9	17/3	17/1	7	14/4	11/5	13/7	15/2	21/4
Cr	50	40	62	10	83	20	70	20	10
Cs	1/29	0/93	2/1	1/37	1/8	2/99	2/06	2/33	2/97
Cu	22	22	25	15	21	22	24	22	14
Dy	1/25	1/84	1/62	2/97	1/79	2/91	2/02	2/65	4/39
Er	0/62	0/87	0/76	1/64	0/84	1/71	1/07	1/97	2/8
Eu	0/72	1/08	0/94	1/01	1/01	1/09	1/06	1/24	1/24
Gd	2/19	7/03	2/21	2/31	2/86	2/64	2/1	2/74	4/13
Hf	2/9	2/5	1/6	2/6	2/25	4/3	2/3	2/15	4/17
La	20/1	28/7	22	21/9	24	22/5	27/3	24/6	26/2
Lu	0/17	0/1	0/12	0/24	0/13	0/25	0/12	0/32	0/4
Nb	9/2	20	11/4	8/3	10/4	13/6	14/1	8/6	9/2
Nd	17/2	27/9	18/7	19/5	19/5	22/7	19/2	20/8	23
Ni	22	22	46	5	60	5	64	5	5
Pb	11	14	11	14	11	15	12	15	12
Pr	4/66	7/88	3/97	4/96	4/10	6/05	5/06	5/02	6/07
Rb	41/5	43	31	45	32	77/7	41	43/3	60/9
Sm	2/08	4/45	3	2/72	2/21	2/94	2/24	4/21	4/77
Sr	657	1020	889	816	894	609	728	566	479
Ta	0/5	1	-0/7	0/5	-0/1	0/7	-1/8	-1/4	-1/7
Tb	0/27	0/41	0/24	0/5	0/27	0/48	0/25	0/16	0/72
Th	6	9/23	8/25	9/5	9/51	9/77	7/58	7/28	9/42
Tm	0/07	0/12	0/1	0/24	0/1	0/24	0/15	0/11	0/43
U	2/02	2/83	1/7	2/23	1/7	2/61	2/13	2/83	2/88
V	54	82	80	112	85	115	88	155	188
W	1	1	1/3	1	1/3	1	2	1	6
Y	518	816	813	15/7	9/1	15/6	10/1	18/8	24/4
Yb	0/52	0/71	0/8	1/63	0/9	1/53	0/84	2/14	2/65
Zn	48	61	57	72	60	67	63	92	108
Zr	107	136	69	133	106	165	124	134	155



شکل ۱. نمایی از واحدهای آتشفشاری منطقه منور



شکل ۲. نقشه منطقه مورد مطالعه، برگرفته از نقشه زمین‌شناسی ۱:۱۰۰۰۰۰ تبریز، تهیه شده توسط سازمان زمین‌شناسی کشور (۱۳۷۲)

سنگ‌ها دارای بافت (Blatt and Tracy, 1995) هیالومیکرولیتی پورفیریک، میکرولیتی پورفیریک و پورفیریک هستند که نشان‌دهنده انجاماد و تبلور دو مرحله‌ای است که درشت‌بلورها در عمق زیاد متبلور شده و همراه با بالا آمدن ماغما، مرحله بعدی تبلور با تشکیل میکرولیت‌ها و شیشه اتفاق افتاده است.

داسیت: کانی‌های اصلی شامل پلازیوکلازهای شکل‌دار و نیمه شکل‌دار با دانه‌بندی متوسط تا ریز هم به صورت درشت و هم به صورت ریز‌بلور و میکرولیت در خمیره سنگ قرار دارند (شکل ۳- ب، رو). پلازیوکلازها اغلب زونینگ نوسانی و ماکل پلی‌سنتتیک نشان می‌دهند (شکل ۳- ب). با توجه به زاویه خاموشی، بیشتر پلازیوکلازها در حد آندزیت می‌باشند. بعد از پلازیوکلاز، پیروکسن به صورت خود شکل تا نیمه خود شکل در بافت سنگ وجود دارد (شکل ۳- ت و ب). با توجه به زاویه خاموشی مایل و ماکل پلی‌سنتتیک و زاویه بین رخ‌ها، به نظر می‌رسد که پیروکسن‌ها در حد اوژیت باشند. ارتوبیروکسن در این کانی‌ها به عنوان کانی فرعی در مقدار کمتر یافت می‌شود. وجود کانی‌های هورنبلند با حواشی سوخته و بافت اپاسیته با تعداد کمتر نسبت به پیروکسن‌ها، نشان‌دهنده شرایط عدم تعادل بین ماغما و هورنبلندهای موجود در آن است (شکل ۳- ت). بافت این سنگ‌ها بیشتر از نوع هیالومیکرولیتی پورفیریک، میکرولیتی پورفیریک و پورفیریک می‌باشد. بافت پورفیری هم بیشتر از نوع سرئیتی است (شکل ۳- ر). پلازیوکلازها هم اغلب دارای بافت غربالی هستند (شکل ۳- ب)؛ این بافت در اثر کم شدن فشار در مرکز و کناره‌های بلور پلازیوکلاز ایجاد می‌شود.

ژئوشیمی

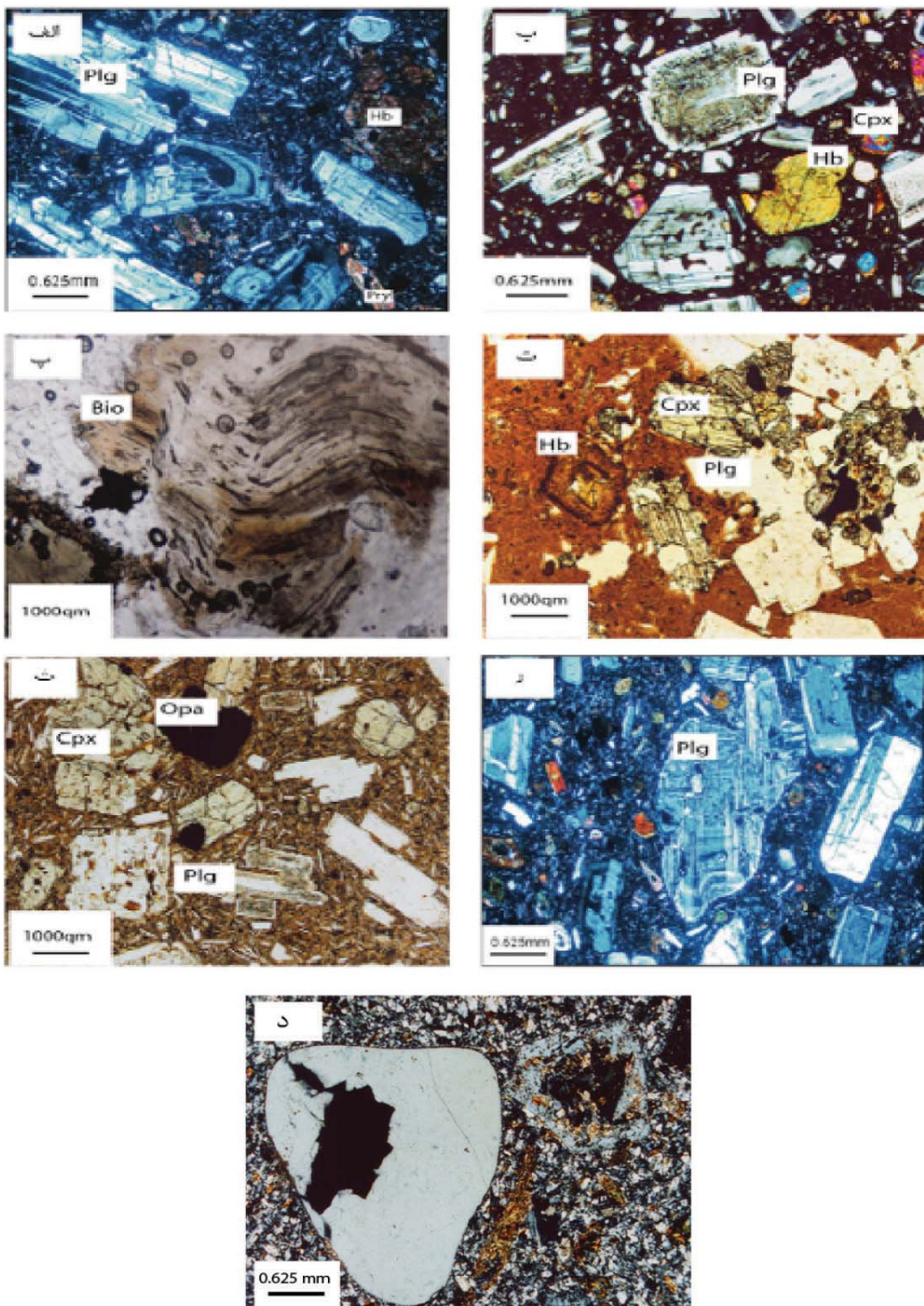
سنگ‌های آتشفسانی منطقه منور در نمودارهای ژئوشیمیایی TAS (شکل ۴- ب) و SiO_2 و Zr/TiO_2 (شکل ۴- الف) در محدوده داسیت، تراکی داسیت و آندزیت قرار می‌گیرند.

سنگ‌نگاری

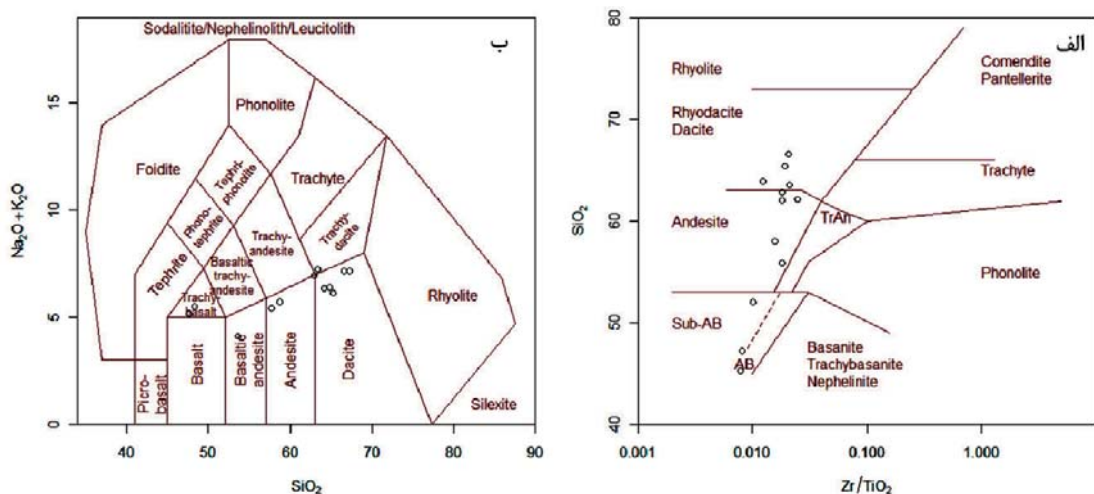
بر پایه مطالعات میکروسکوپی، سنگ‌های ماغماتی منور را می‌توان به گروه‌های زیر تقسیم‌بندی کرد، که به طور جداگانه در زیر شرح داده شده‌اند.

آنذیت: این گروه از سنگ‌ها در نمونه‌های ماکروسکوپی به رنگ خاکستری روشن دیده می‌شوند. آندزیت‌ها در منطقه منور بیشترین و گستردگترین حجم محصولات آتشفسانی پلیوکواترنی را به خود اختصاص می‌دهند. بافت پورفیری این سنگ‌ها با درشت‌بلورهای پلازیوکلاز در یک زمینه دانه‌ریز کاملاً مشخص است. پلازیوکلازها به عنوان کانی اصلی، هم به صورت فنوکریست و هم به شکل بلورهای ریز خرد شده در خمیره یافت می‌شوند. پلازیوکلازهای دارای زونینگ نوسانی بوده و ساخت منطقه‌ای معمولی نشان می‌دهند (شکل ۳، الف). برخی از پلازیوکلازها با ماکل پری‌کلین و آلبیتی قابل مشاهده هستند. فراوانی پلازیوکلازها حاکی از آن است که در هنگام فوران ماغما آندزیتی، پلازیوکلاز فاز جامد گدازه را تشکیل می‌داده است.

هورنبلند هم به صورت شکل‌دار و نیمه شکل‌دار بعد از پلازیوکلازها کانی اصلی است (شکل ۳- الف). برخی از هورنبلندهای شکل‌دار هم زونینگ نوسانی نشان می‌دهند. در حاشیه برخی از هورنبلندها هم اثرات خوردگی مشاهده می‌شود (شکل ۳- ث). در این سنگ‌ها، بیوتیت به عنوان یک کانی فرعی در مقدار کم بافت کینگ باند قابل مشاهده است (شکل ۳- پ). عموماً بیوتیتها به صورت تیغه‌ای و نیمه خودشکل دیده می‌شوند. کانی‌های اپاک بیشتر از نوع مگنتیت و ایلمنیت هستند (شکل ۳- ث) که به صورت دانه‌ریز و اغلب به شکل فنوکریست در متن سنگ به صورت پراکنده قابل مشاهده هستند. برخی از هورنبلندها هم دارای حواشی سوخته و بافت اپاسیته می‌باشند (شکل ۳- ث). بلورهای دارای حواشی سوخته نشان‌دهنده شرایط عدم تعادل بین ماغما و هورنبلندهای موجود در آن است



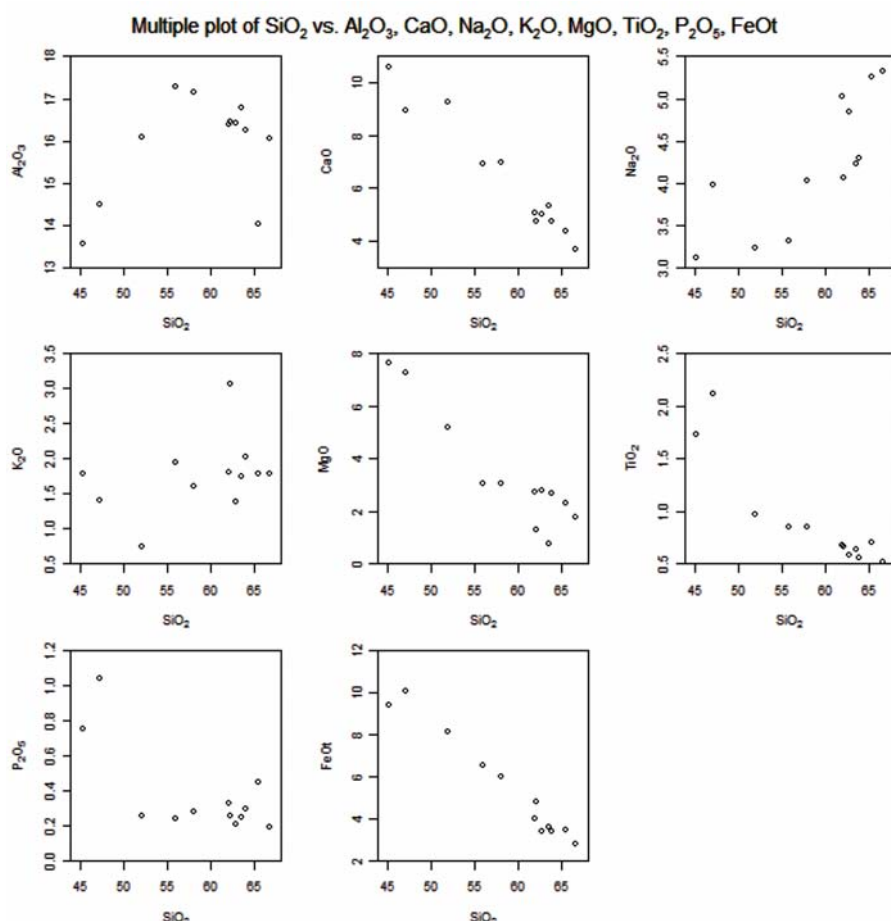
شکل ۳. تصاویر میکروسکوپی منتخب از منطقه منور، (الف) فنوكریست‌های پلازیوکلاز دارای زونینگ نوسانی و ساخت منطقه‌ای، هورنبلند و پیروکسن، آندزیت (در نور XPL)، ب) درشت بلورهای شکل‌دار پلازیوکلاز با بافت غربالی و ساختمان منطقه‌بندی، هورنبلند شکل‌دار، ریزبلورهای پلازیوکلاز و پیروکسن در خمیره و بافت پورفیری، داسیت (در نور XPL)، پ) کانی بیوتیت با بافت کینگ باند و حاشیه واکنشی، آندزیت (در نور PPL)، ت) پلازیوکلازها با بافت غربالی و کانی‌های آمفیبیول شکل‌دار با حاشیه سوخته و پیروکسن‌ها در یک متن، شیشه‌ای و میکرولیتی ریزبلور با بافت هیالو پورفیری و میکرولیتی پورفیریک، داسیت (در نور PPL)، ث) پلازیوکلازهای زونه در با بافت هیالومیکرولیتیکی دارای فنوكریست‌هایی از کانی‌های آپک، آندزیت (در نور PPL)، ر) فنوكریست‌های پلازیوکلاز دارای بافت پورفیری سرئیتی، داسیت (در نور XPL)، د) کلینوپیروکسن اوژیتی در روانه‌های داسیتی (در نور XPL)



شکل ۴. (الف) نمودار SiO_2 در مقابل Zr/TiO_2 از (Middlemost, 1994) و (ب) نمودارهای TAS از (Winchester and Floyd, 1977)

عنصر اصلی و فرعی نسبت به SiO_2 ، به خوبی روندهای جدایشی را نشان می‌دهند (شکل ۵).

در نمونه‌های مورد بررسی میزان SiO_2 بیشتر از ۵۵ کمتر از سه درصد وزنی محاسبه درصد وزنی و میزان MgO کمتر از سه درصد وزنی محاسبه شده است. در نمودارهای هارکر، تغییرات برای برخی از

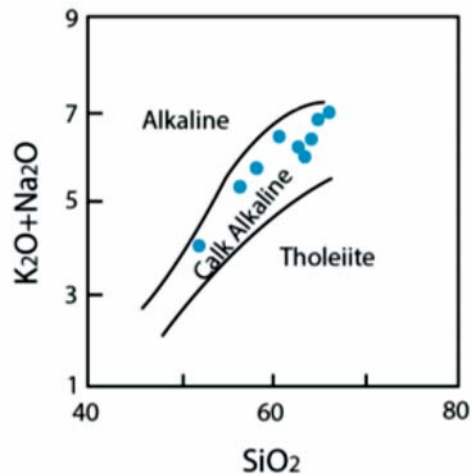


شکل ۵. نمودارهای تغییرات عناصر مختلف در مقابل SiO_2 ، SiO_2 تفرق بلوری در فشار بالا از (OrhanKarsli et al., 2010)

SiO_2 روند پراکنده‌ای را نشان می‌دهد که می‌تواند از تأثیر هضم پوسته‌ای و آلایش ماقمایی ناشی شود (OrhanKarsli et al., 2010). الگوی عناصر نادر خاکی بهنجار شده این سنگ‌ها به کندریت (شکل ۷-الف) نشان‌دهنده ارتباط زیادی تمام نمونه‌ها با یکدیگر و غنی‌شدگی آنها از عناصر نادر خاکی سبک است. سنگ‌های مورد بررسی در عناصر نادر خاکی سنگین، تنها شدگی نشان می‌دهند، اما در عناصر نادر خاکی سبک، غنی‌شدگی و یک روند افزایشی را از عناصر نادر خاکی میانه تا سبک نشان می‌دهند. همچنین تغییرات عناصر کمیاب در این سنگ‌ها نسبت به گوشته اولیه هم نرمالیز شده است (شکل ۷-ب). نمودارها نشان می‌دهند که نمونه‌های مطالعه شده غنی‌شدگی مشخصی از عناصر لیتوفیل با شعاع یونی بزرگ (LILEs) مانند Sr , K , Pb , U , Cs و آنومالی منفی در Nb را نشان می‌دهند. غنی‌شدگی در Ti نشان‌دهنده تمرکز فازهای تیتان‌دار در سنگ‌های مورد بررسی است (Pearce and Peate, 1995).

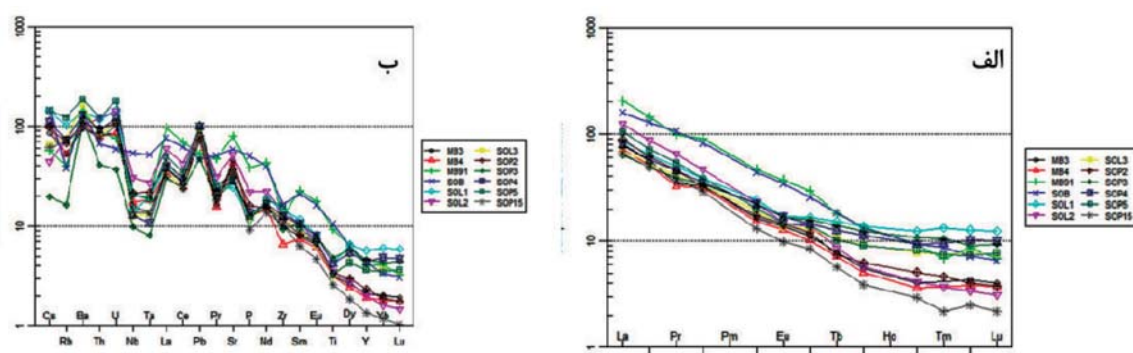
همچنین Eu آنومالی مثبت دارد و نشان‌دهنده عدم جدایش پلاژیوکلاز از ماقما می‌باشد. برخی از نمونه‌های مورد مطالعه مانند MB13, MB14, MB15 و MB18 در دیاگرام‌های عنکبوتی روندهای متفاوتی نسبت به بقیه نشان می‌دهند. به نظر می‌رسد ویژگی‌های شیمیائی آنها تا حدی با ویژگی‌های گدازه‌های کالک‌آلکالن نرمال شباهت داشته و با ویژگی‌های بینابینی با آدکایت‌ها نشان می‌دهند.

براساس نمودار SiO_2 در مقابل $\text{Na}_2\text{O} + \text{K}_2\text{O}$ پیشنهادی (Kuno, 1968)، سری‌های ماقمایی از همدیگر قابل تفکیک هستند. در این نمودار سنگ‌های آتشفسانی آندزیتی و داسیتی منطقه مورد مطالعه در محدوده کالک‌آلکالن واقع می‌شوند (شکل ۶).



شکل ۶. نمودار SiO_2 در مقابل $\text{K}_2\text{O} + \text{Na}_2\text{O}$ به منظور تعیین سری ماقمایی (Kuno, 1968)

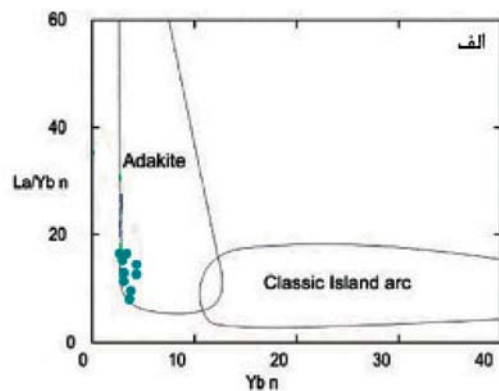
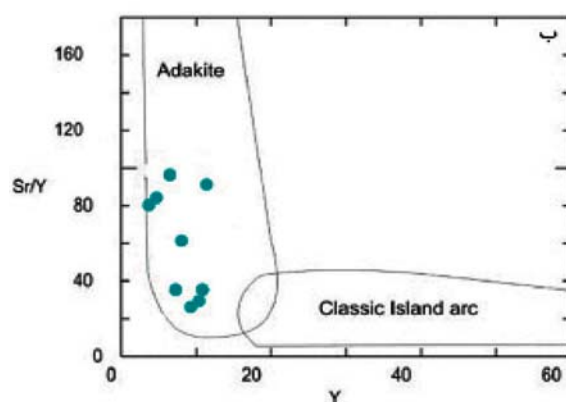
روند منفی در چگونگی پراکنش نمونه‌ها در مقادیر CaO , MgO , FeO , TiO_2 و Ni نسبت به SiO_2 نشان‌دهنده جدایش بلورهای هورنبلند و پلاژیوکلاز از ماقماست. کاهش مقادیر Al_2O_3 با افزایش مقدار SiO_2 در نمونه‌های مورد بررسی، نشان‌دهنده جدایش بلوری در شرایط فشار بالاست (OrhanKarsli et al., 2010). مقادیر K_2O نسبت به



شکل ۷. الف) نمودار REE نرمالیزه شده نسبت به کندریت (Boynton, 1984) (ب) نمودار عناصر کمیاب نرمالیزه شده به گوشته اولیه (Sun and McDonough, 1989)

(شکل ۸-الف) و در نمودار Sr/Y به Ybn (شکل ۸-ب) به عنوان سنگ‌های آدکایتی رده‌بندی کرد.

با در نظر گرفتن ویژگی‌های ذکر شده به همراه مقادیر بالای Sr , می‌توان این سنگ‌ها را در نمودار La/Ybn به

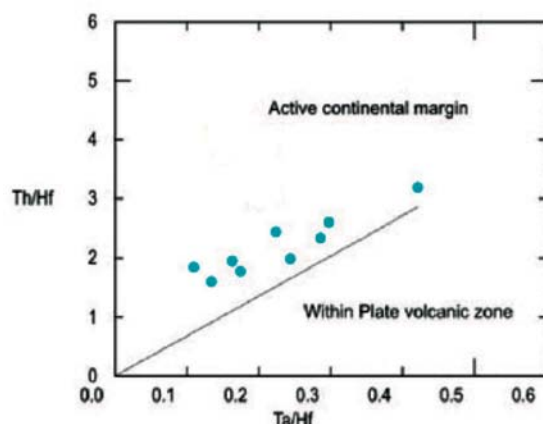


شکل ۸. نمودارهای جدایشی مagmaهای آدکایتی از magmaهای مشتق شده از گوشه، (الف) La/Ybn نسبت به Ybn از (Petron et al., 2006) و (ب) Sr/Y نسبت به Y از (Defant and Drummond, 1990)

Martin et al., 1999), ذوب پریدوتیت آبدار (Castillo et al., 1999), آلیش magma بازالتی (Stern and Hanson, 1991; 2005) با magma فلزیک مشتق شده از پوسته (Guo et al., 2007) و ذوب بخشی پوسته قاره‌ای پایینی ضخیم همگن (Guo et al., 2002; Xu et al., 2007) نیز به وجود آیند. برای تعیین خاستگاه آنها لازم است ویژگی‌های ژئوشیمیابی آنها به طور دقیق مورد بررسی قرار گیرد.

آدکایتها به دو گروه پرسیلیس با ویژگی‌های $\text{Sr} < 1100 \text{ ppm}$, $\text{MgO} = 0.5 - 4\text{wt\%}$, $\text{Na}_2\text{O} + \text{K}_2\text{O} < 11\text{wt\%}$ کم سیلیس با ویژگی‌های $\text{Sr} > 1000 \text{ ppm}$ و $\text{Na}_2\text{O} + \text{K}_2\text{O} > 10\text{wt\%}$ تقسیم‌بندی می‌شوند (Martin et al., 2005). آدکایتها پرسیلیس نشان‌دهنده آن است که ذوب گوشه دگر نهاد شده، magma مشابه با ویژگی‌های ژئوشیمیابی آدکایتها کم سیلیس به وجود می‌آورند. اختلاف ژئوشیمیابی مشخصی بین دو گروه آدکایتها پرسیلیس و کم سیلیس در نمودارهای بهنجار شده کندریت وجود دارد. آدکایتها کم سیلیس الگوی REE جدایش یافته‌تری را نسبت به آدکایتها پرسیلیس نشان می‌دهند. به طوری که نسبت Yb/Lu در آدکایتها

شاندل و گورتن (Shandl and Gorton, 2002) نموداری را پیشنهاد کرده‌اند که سنگ‌های حاشیه فعال قاره‌ای را از آتشفشارهای فعال درون صفحه‌ای تفکیک می‌کنند. طبق این نمودار سنگ‌های مورد نظر در گستره‌ی حاشیه فعال قاره‌ای قرار می‌کیرند (شکل ۹).



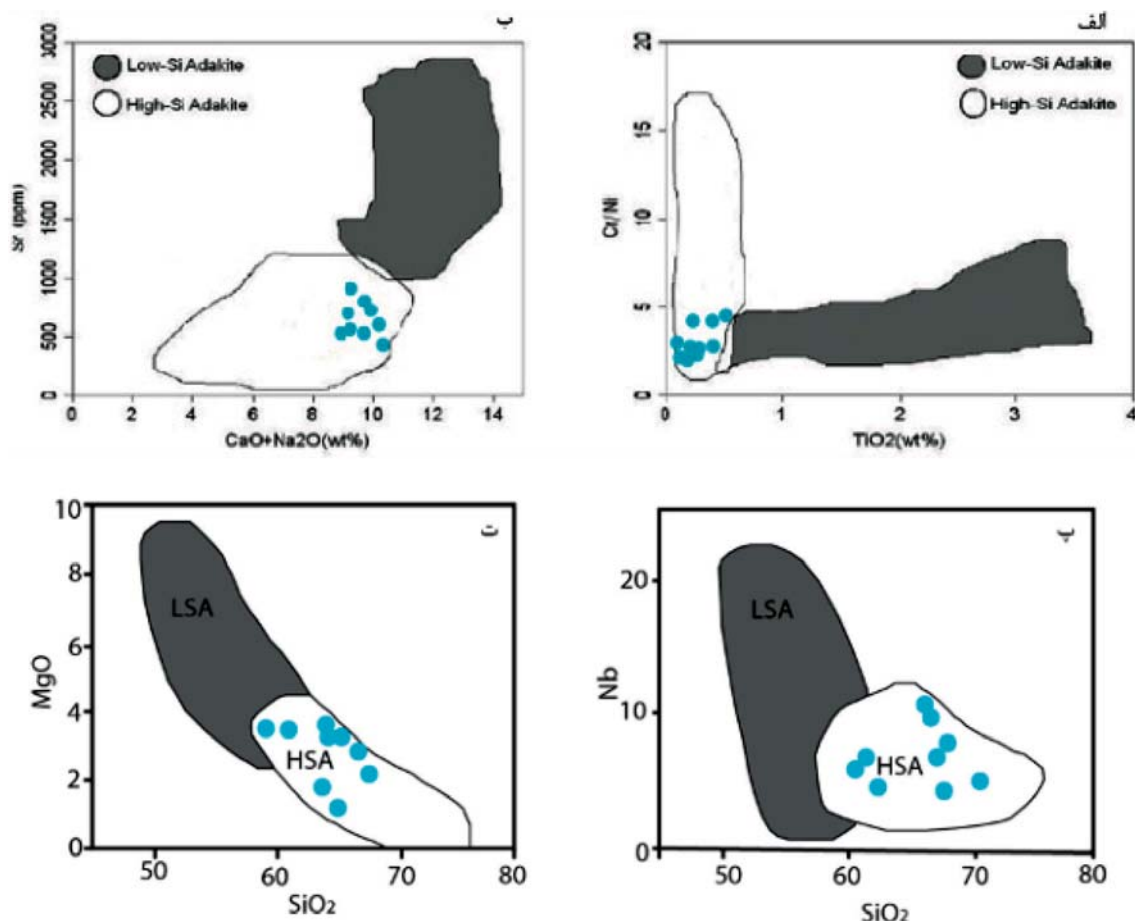
شکل ۹. جدایش محیط زمین ساختی حاشیه فعال قاره‌ای از محیط آتشفشاری درون صفحه‌ای برگرفته از (Shandl and Gorton, 2002)

بحث و بررسی

به عقیده (Defant and Drummond, 1990) magmaهای آدکایتی از ذوب پوسته اقیانوسی گرم و جوان ریشه می‌گیرند. در حالی که پژوهشگران دیگر عقیده دارند که آدکایتها می‌توانند از روش‌های متعددی مثل جدایش magma

آدکایت‌های مورد بررسی به نوع پرسیلیس است. در شکل ۱۰، نمونه‌ها بیشتر در محدوده پرسیلیس واقع شده‌اند. بنابراین، در پیدایش آدکایت‌های مورد بررسی گوه گوشه‌ای دخالتی نداشته است.

کم سیلیس حدود ۱۰ و در آدکایت‌های پرسیلیس در حدود پنج گزارش شده است (Jean 2009). مقادیر Sr در نمونه‌های مورد بررسی ۴۷۹ ppm-۱۰۲۰ و مقدار MgO برابر با ۳/۰۸-۰/۷۸ است که نشان‌دهنده گرایش

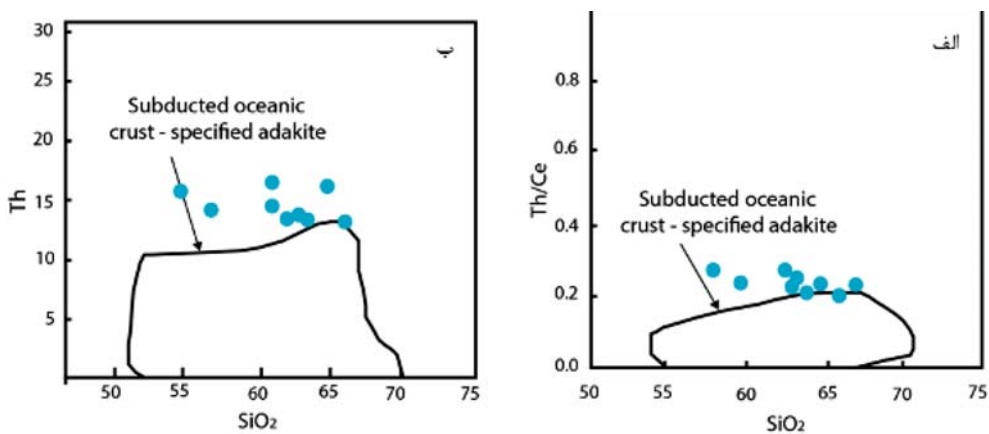


شکل ۱۰. نمودارهای تفکیک‌کننده آدکایت‌های پرسیلیس (HSA) از کم سیلیس (LSA) از (Martin et al., 2005)

آذربین از جایگاه‌های زمین ساختی مختلف را بر اساس نسبت‌های ساده عناصر غیر متحرک نشان می‌دهد. با استفاده از این روش و به کمک این نمودار می‌توان طی چند مرحله جایگاه‌های LOP، IOP، PAP، CAP و WIP را به راحتی از یکدیگر تفکیک کرد. با توجه به شکل ۱۲ سنگ‌های آتشفسانی منطقه منور بر اساس نسبت‌های ساده عناصر غیر متحرک در منطقه CAP + PAP قرار می‌گیرند.

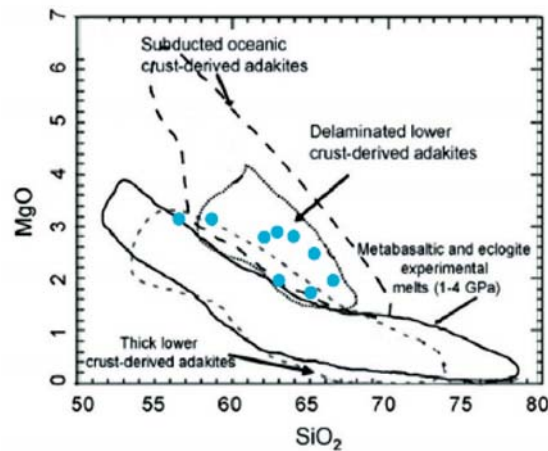
مقادیر Th/Ce (شکل ۱۱-ب) و نسبت Th/Ce (شکل ۱۱-الف) در نمونه‌های مورد بررسی بیشتر از مقادیر این عناصر در آدکایت‌های ناشی از ذوب پوسته اقیانوسی فروزانده شده است. در کنار این موارد نسبت‌های SiO₂ و MgO نیز در شکل ۱۲ نشان می‌دهند که این سنگ‌ها از ذوب صفحه اقیانوسی فروزانده ایجاد نشده‌اند.

شکل ۱۳، نمودار تشخیص مرحله‌ای برای سنگ‌های

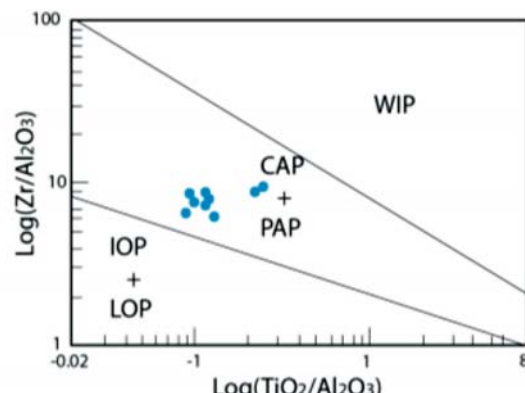


شکل ۱۱. (الف) نمودار SiO_2 نسبت به Th/Ce (ب). نمودار SiO_2 نسبت به Fe . گستره مشخص شده برای آدکایت‌های حاصل از پوسته اقیانوس فرورانده شده از (Martin et al., 2005)

به وجود آمدن آدکایت‌ها از ذوب مواد مافیک پوسته تحتانی مستلزم شرایط گرمایی داغ است (Peacock et al., 1994). همچنین ذوب بخشی پروتوولیت‌های مافیک در رخسارهای انتقالی آمفیبولیت به اکلوژیت و در حداقل فشار ۱۵ تا ۲۵ کیلو بار و در گستره دماهی ۹۰۰ تا ۷۰۰ درجه سانتی‌گراد امکان‌پذیر است (Martin, 1999). به وجود آمدن آدکایت‌ها از ذوب پوسته بازالتی تحتانی در کمان‌های قارمایی واقع بر یک پوسته ضخیم نیز امکان‌پذیر است (Atherton and Petford, 1993). عدمای دیگر نیز به وجود آمدن آدکایت‌ها از طریق ذوب پوسته تحتانی و تهی شدگی از عناصر لیتوفیل بزرگ یون در گرانولیت‌های پوسته را محتمل دانسته‌اند (Rollinson and Tarney, 2005). با در نظر گرفتن کلیه نظریه‌های فوق الذکر در ارتباط با تشکیل آدکایت‌ها و همچنین با در نظر گرفتن ویژگی‌های شیمیائی سنگ‌های آتشفسانی منطقه منور به ویژه سن جوان گدازه‌ها و با توجه به شواهد چینه‌ای که در محدوده پلیوسن تا کواترنری است، گدازه‌های مورد مطالعه از ذوب بخشی پوسته زیرین ضخیم شده در یک محیط پسا برخور迪 شکل گرفته‌اند و احتمالاً ذوب بخشی پوسته تحتانی در اثر ضخیم شدگی و آشفتگی در ترازهای حرارتی پوسته‌ای و با صعود گدازه‌های بازیک گوشته‌ای کم عمق که ویژگی‌های پوسته اقیانوسی به زیرانده را نیز به ارث برده‌اند، صورت گرفته است. از طرف دیگر وجود سنگ‌های آدکایتی در بخش شمالی و جنوبی گسل تبریز از جمله مسائلی است که باید مورد



شکل ۱۲. نمودار MgO در مقابل SiO_2 برگرفته از Stern and Kilian, 1996 برای نمونه‌های منطقه منور



شکل ۱۳. نمودار تشخیصی مرحله‌ای برای سنگ‌های آتشفسانی بر اساس نسبت‌های ساده عناصر غیر متحرک (Muller and Groves, 1997) نمودار لگاریتمی $\text{Zr}/\text{Al}_2\text{O}_3$ نسبت به $\text{TiO}_2/\text{Al}_2\text{O}_3$ که سنگ‌های آتشفسانی در محدوده CAP+PAP قرار می‌گیرند. WIP, Within-plate; CAP, Continental arc; PAP, Post collisional arc; LOP, Late oceanic arc; IOP, Initial oceanic arc

- ماگمایی پلیو-کواترنر آذربایجان (شمال غرب ایران). رساله دکتری، دانشگاه تبریز، ۱۸۸.
- عامل، ن.، مؤید، م.، عامری، ع.، وثوقی عابدینی، م و مؤذن. م.، ۱۳۸۷. سنگ‌زایی بازالت‌های پلیو-کواترنر آذربایجان (شمال غرب ایران) و مقایسه آنها با بازالت‌های مشابه در شرق ترکیه. مجله بلورشناسی و کانی‌شناسی ایران، ۳۲۷ - ۳۴۰.
- Alishah, F and Jahangiri, A., 2013. Post-collisional Pliocene to Pleistocene adakitic volcanism in Sahand region in Northwest Iran: Geochemical and geodynamic implications. *Physical Sciences Research International*, 1, 62- 75.
- Atherton, M.P and Petford, N., 1993. Generation of sodium-rich magmas from newly underplated basaltic crust. *Nature*, 362, 144- 146.
- Blatt, H. and Tracy, R., 1995. Petrology: Igneous, Sedimentary and metamorphic. W. H. Freeman Book Company, New York.
- Boynton, W.V., 1984. Geochemistry of the rare earth elements: meteorite studies. In: Henderson, P. (Ed.), Rare Earth Element Geochemistry, Elsevier, 63-114.
- Castillo, P.R., Janney, P.E and Solidum, R.U., 1999. Petrology and geochemistry of Camiguin Island, southern Philippines: insights to the source of adakites and other lavas in a complex arc setting. Contribution to Mineralogy and Petrology, 134, 33-51.
- Defant, M.J and Drummond, M.S., 1990. Derivation of some modern arc magmas by melting of young subducted lithosphere. *Nature*, 367, 662-665.
- Guo, F., Nakamuru, E., Fan W., Kobayashi, K., Li and C., 2007. Generation of Palaeocene adakitic and esites by magma mixing; Yanji Area, NE China. *Journal of Petrology* 48, 661-692.
- Jahangiri, A., 2007. Post-collisional Miocene adakitic volcanism in NW Iran:Geochemical

توجه قرار گیرد. در جنوب گسل تبریز آتشفشان سهند با سن میوسن تا کواترنر قرار دارد، که واحدهای جوان‌تر این آتشفشان به سمت سنگ‌های آدکایتی گرایشی را نشان می‌دهند (Alishah and Jahangiri, 2013).

در یک بررسی (Pearce et al., 1990)، فلات ایران- آناتولی بعد از کرتاسه همواره تحت تأثیر رژیم تکتونیکی فشارشی بوده است. ادامه همگرائی بعد از تصادم پلیت عربی- اوراسیا، سبب ایجاد شکستگی‌ها و گسل‌های امتدادلغز متعدد شده و نهایتاً زون قطعه منتهای را به وجود آورده است (عامل، ۱۳۸۶). بر طبق اظهارات این افراد (Pearce et al., 1990)، بیشترین حجم مagmaها از طریق شکاف‌ها در حوضه‌های تراکنشی، در زون‌های گسلی امتدادلغز به سطح رسیده‌اند. به نظر می‌رسد الگوی ارائه شده با واقعیت‌های زمین‌شناسی و ویژگی‌های سنگ‌شناختی و پتروژنتیکی آتشفشان‌های پلیو-کواترنر آذربایجان و از جمله منطقه مورد مطالعه مطابقت داشته باشد. البته نبود سن سنجی دقیق در مورد سنگ‌های آتشفشانی منطقه منور از محدودیت‌های این بررسی است، ولی با توجه به مطالعات انجام گرفته می‌توان پیدایش این سنگ‌ها را به ذوب پوسته ضخیم شده پس از برخورد وابسته دانست.

نتیجه‌گیری

سنگ‌های آتشفشانی منطقه منور بیشتر ترکیب داسیتی، تراکی داسیتی، آندزیتی داشته و به وسیله سنگ‌های بازالتی پوشیده شده‌اند که در ارتباط با مجموعه‌های آدکایتی در نظر گرفته نمی‌شوند. سنگ‌های مورد مطالعه از نوع سنگ‌های آدکایتی پر سیلیس هستند. با توجه به شواهد صحرانی و ویژگی‌های زمین‌شناسی این سنگ‌ها دارای سن میو-پلیوسن تا پلیو-کواترنر هستند و در اثر ذوب پوسته ضخیم شده پس از برخورد و از طریق شکستگی‌های اطراف گسل تبریز به سطح رسیده‌اند.

منابع

- جلیلیان، ع.، افشاریان‌زاده، ع. م.، ۱۳۷۲. نقشه ۱:۱۰۰۰۰۰ تبریز، سازمان زمین‌شناسی کشور.
- عامل، ن.، ۱۳۸۶. پترولوزی و پتروژن سنگ‌های

- and geodynamic implications. *Journal of Asian Earth Sciences* 30, 433-447.
- Jean, F.M., 2009. High Sr/Y and La/Yb ratios: The meaning of the “adakitic signature”. *Lithos*, 112, 556-574.
 - Kuno, H., 1968. The Poldervaart treatise on rocks of basaltic compositions. Interscience, New York 2, 623-688.
 - Martin, H., 1999. Adakitic magmas: modern analogues of Archaean granitoids. *Lithos*, 46, 411-429.
 - Martin, H., Smithies, R.H., Rapp, R., Moyen, J.F and Champion, D., 2005. An overview of adakite, tonalite - trondhjemite-granodiorite (TTG), and sanukitoid: relationships and some implications for crustal evolution. *Lithos*, 79, 1-24.
 - Middlemost, E. A. K., 1994. Naming materials in the magma/igneous rock system. *Earth Science Reviews*, 37, 215-224.
 - Muller, D and Groves, D.I., 1997. Potassic Igneous rocks and associated gold-copper mineralization. *Earth Sciences*, 56: 238.
 - OrhanKarsli, O., Dokuz, A., Uysal, O., Aydin, F., Kandemir, R and Wijbrans, J., 2010. Generation of the Early Cenozoic adakitic volcanism by partial melting of mafic lower crust, Eastern Turkey: Implications for crustal thickening to delamination. *Lithos*, 114, 109-120.
 - Peacock, S.M., Rushmer, T and Thompson, A.B., 1994. Partial melting of subducting oceanic crust. *Earth and Planetary Science Letters*, 121, 227-244.
 - Pearce, J.A., 1983. The role of subcontinentallithosphere magma genesis at destruction platemargin, In continental basalts and mantle Xenolithes.
 - Pearce, J.A and Cann, J.R., 1973. Tectonic setting of basic volcanic rocks determined using trace element analysis. *Earth and Planetary Science Letters*, 19: 200-290.
 - Pearce, J.A and Peate, D.W., 1995. Tectonic implications of the composition of volcanic arc magmas. *Annual Review of Earth and Planetary Sciences*, 23, 251-285
 - Pearce, J.A., Bender, S.E., DeLong, W.S.E., Kidd, P.J., Low, Y., Guner, F., Saroglu, Y., Yilmaz, Y., Moorbath, J.G and Mitchell, J.F., 1990. Genesis of collision volcanism in eastern Anatolia Turkey. *Journal of Volcanology Geothermal Research*, 44, 189-229.
 - Petrone, C.M., Francalanci, L., Ferrari, L., Schaaf, P and Conticelli, S., 2006. The San Pedro-Cerro Grande Volcanic Complex (Nayarit, Mexico): inferences on volcanology and magma evolution”, in: SiebeC, Aguirre-Déaz G, Macéas JL (eds) Neogene-Quaternary continental margin volcanism: a perspective from Mexico. Geological Society of America, 402, 65-98.
 - Rapp, R., Yaxley, G., Norman, M.D and Shimizu, N., 2007. Comprehensive trace element characteristics of experimental TTG and sanuki-toid melts, Sixth International Hutton Conference on the Origin of Granitic Rocks. Stellenbosch, South Africa.
 - Rollinson, H.R and Tarney, J., 2005. Adakites- The key to understanding LILE depletion in granulites. *Lithos*, 79, 61-81.
 - Shandle, E.S and Gorton, M.P., 2002. Application of high field strength elements to discriminate tectonic setting in VMS environment. *Economic Geology*, 97, 629-642.
 - Stern, R.A and Hanson, G.N., 1991. Archean high-Mg granodiorite: a derivative of light rare earth element enriched monzodiorite of mantle origin. *Journal of Petrology*, 32, 201-238.
 - Stern, C.R and Kilian, R., 1996. Rôle of the subducted slab, mantle wedge and continental

- crust in the generation of adakites from the Austral volcanic zone. Contributions to Mineralogy and Petrology, 123, 263-281.
- Sun, S.S and MC Donough, W.F., 1989. Chemical andisotopic systematics of oceanic basalts: implications for mantle composition and processes. In: Saunders, AD. And Norry, M.J (eds), Magmatism in oceanic basins, Geological Society of London Special Publication, 42, 313-345.
- Wang, Q., Xu, J., Jian, P., Bao, Z., Zhao, Z., Li, C and Xiong, X., 2006. Petrogenesis of Adakitic Porphyries in an Extensional Tectonic Setting, Dexing, South China: Implications for the Genesis of Porphyry Copper Mineralization. Journal of Petrology, 47, 119-144.
- Winchester, J.A and Floyd, P.A., 1977. Geochemical discrimination of different magma series and their differentiation products using immobile elements. Chemical Geology, 20, 325-343.
- Xu, J.F., Shinjo, R., Defant, M.J., Wang, Q and Rapp, R.P., 2002. Origin of Mesozoic adakitic intrusive rocks in the Ningzhen area of east China: partial melting of delaminated lower continental crust. Geology, 30, (12), 1111-1114.